

FABIEN SOUTH PROPERTY

A DEPOSIT OF IRON, TITANIUM AND VANADIUM

(Version en français a la suite)

Localization

The Fabien south property is located 130 kilometers (81 Miles) northwest of Quebec City and 100 kilometers (62 Miles) southwest of the town of Alma in the Kiskissink ZEC (see Figure 1). It is formed of 30 cells designated on the 31 P/16 map at coordinates NAD 83, zone 18, 765450 East, 5294860 North, for a total area of 1725 hectares.

Geology of the project

The Fabien lake project is located in the geological province of Grenville, and the area is included in the central granulitic soil according to the Wynne Edwards 1972 classification. According to Rivers et al. 1989, the region is part of the polycyclic allochronic.

The rocks of the project are part of an intrusive series of variable composition: gabbro, gabbro-pyroxenite and anorthosite. This mostly gabbroic intrusion occupies a large area of land (more than 10 km long X 5 km wide) and has a proven potential for chromium-vanadium mineralization. The sampled sequence begins with a gabbro-pyroxenite composed of pyroxene phenocrysts with plagioclase and magnetite (5-10%). Then comes a littered zone of massive magnetite with rhythmic magmatic bed oriented at 240 degrees. The vanadium results are 0.1-0.49% for this zone, followed by a gabbro-pyroxenite with magnetite. At the level of outcrops of this sector, it can be seen that the magmatic bed is constant and does not present any great disturbance, which confirms that the intensity of the deformation is rather low. There is also a whitish increase in the patina of rocks in this area. The vanadium value of 0.49% is associated with these lithologies. The continuity of this gabbro-pyroxenite appears to be important because the next sample is also enclosed in this type of lithology (0.2% V). The last sample of the sequence is found in an anorthosite with a pegmatitic texture with plagioclase phenocrysts.

The topography is relatively flat (variation of approximately 10 to 20 meters) the property is accessible by a forest road in which it is necessary to drive 40km to reach the property. This road was built for the transport of is well maintained, it uncovers outcrops from the north to the south of the property and other side roads partially east to west.

The railway line that is in operation passes 3km from the main index, the nature of the ground is mainly gravel. Composed of black spruce, balsam fir and hardwood, the forest was cut during the 90s.

The best contents obtained were 0.587% (historical), 0.48%, 0.49% and 0.39% V₂O₅. In addition, 1.38% V₂O₃ levels were obtained on magnetite grains using a microprobe (personal communication).

Four samples representing a perpendicular section of the deposit underwent a magnetic separation using the davis tube and the concentrate was analyzed by XRF (IOS Geoscientific).

Here are the results;

TUBE DAVIS					
Analyses du XRF du concentré de magnétite					
echantillons		Fe %	Ti%	V %	V2O5 %
Nb. traité :	IOS				
PM5	124090001	61,125	4,75	0,797	1,42
PM6	124090002	65,41	3,68	0,767	1,37
Carrière	124090003	54,469	1,55	0,344	0,61
PT(P)303/LP300817-06	124090004	61,907	3,01	0,713	1,27
*17GC1045B 1	Mern2017		4,33	0.929	1,66
*17GC1045B 1	Mern2017		3,47	0.935	1,67

* Échantillons du ministère analysés par microsonde converti en V₂O₅ par Léopold Tremblay

slideshow

<https://youtu.be/F7Ktidriqnk>




Roger Ouellet (790 OGQ), Le 25 janvier 2018.

FABIEN SUD PROPRIÉTÉ

UN DÉPÔT DE FER, DE TITANE ET DE VANADIUM

Localisation

La propriété Fabien sud est située à 130 kilomètres (81 milles) au nord-ouest de Québec et à 100 kilomètres (62 milles) au sud-ouest de la ville d'Alma dans la ZEC Kiskissink (voir la figure 1). Il est formé de 30 cellules désignées sur la carte 31 P / 16 aux coordonnées NAD 83, zone 18, 765450 Est, 5294860 Nord, pour une superficie totale de 1725 hectares.

Géologie du projet

Le projet du lac Fabien est situé dans la province géologique de Grenville et la zone est incluse dans le sol granulitique central selon la classification de Wynne Edwards 1972. D'après Rivers et al. 1989, la région fait partie de l'allochronic polycyclique.

Les roches du projet font partie d'une série intrusive de composition variable: gabbro, gabbro-pyroxénite et anorthosite. Cette intrusion essentiellement gabbroïque occupe une grande superficie (plus de 10 km de long sur 5 km de large) et présente un potentiel prouvé de minéralisation en chrome-vanadium. La séquence échantillonnée commence par une gabbro-pyroxénite composée de phénocristaux de pyroxène avec du plagioclase et de la magnétite (5-10%). Puis vient une zone jonchée de magnétite massive avec un lit magmatique rythmique orienté à 240 degrés. Les résultats de vanadium sont de 0,1-0,49% pour cette zone, suivis d'une gabbro-pyroxénite avec de la magnétite. Au niveau des affleurements de ce secteur, on peut voir que le lit magmatique est constant et ne présente pas de grandes perturbations, ce qui confirme que l'intensité de la déformation est plutôt faible. Il y a aussi une augmentation blanchâtre de la patine des roches dans cette région. La valeur de vanadium de 0,49% est associée à ces lithologies. La continuité de cette gabbro-pyroxénite semble être importante car l'échantillon suivant est également enfermé dans ce type de lithologie (0,2% V). Le dernier échantillon de la séquence se trouve dans une anorthosite de texture pegmatitique avec des phénocristaux de plagioclase.

La topographie est relativement plate (variation d'environ 10 à 20 mètres) la propriété est accessible par une route forestière dans laquelle il faut parcourir 40km pour rejoindre la propriété. Cette route a été construite pour le transport du bien entretenu, elle découvre des affleurements du nord au sud de la propriété et d'autres routes secondaires d'est en ouest. La ligne de chemin de fer qui est en service passe à 3 km de l'indice principal, et est à mi-chemin entre le port du Saguenay et de trois rivières.

La nature du terrain est principalement constituée de gravier. Composée d'épinette noire, de sapin baumier et de feuillus, la forêt a été coupée au cours des années 90.

Les meilleures valeurs obtenues étaient 0,587% (historique), 0,48%, 0,49% et 0,39% de V2O5. De plus, des valeurs de 1,38% de V2O3 ont été obtenues sur des grains de magnétite en utilisant une microsonde (communication personnelle).

Quatre échantillons représentatif d'une coupe perpendiculaire du dépôt sous forme d'une séparation magnétique à l'aide du tube Davis et analysé par XRF (IOS Géoscientific).

Voici les résultats ;

TUBE DAVIS					
Analyses du XRF du concentré de magnétite					
echantillons		Fe %	Ti%	V %	V2O5 %
Nb. traité :	IOS				
PM5	124090001	61,125	4,75	0,797	1,42
PM6	124090002	65,41	3,68	0,767	1,37
Carrière	124090003	54,469	1,55	0,344	0,61
PT(P)303/LP300817-06	124090004	61,907	3,01	0,713	1,27
*17GC1045B 1	Mern2017		4,33	0.929	1,66
*17GC1045B 1	Mern2017		3,47	0.935	1,67

* Échantillons du ministère analysés par microsonde converti en V2O5 par Léopold Tremblay

Pour voir le diaporama

<https://youtu.be/F7Ktidriqnk>




Roger Ouellet (790 OGQ)

Le 25 janvier 2018

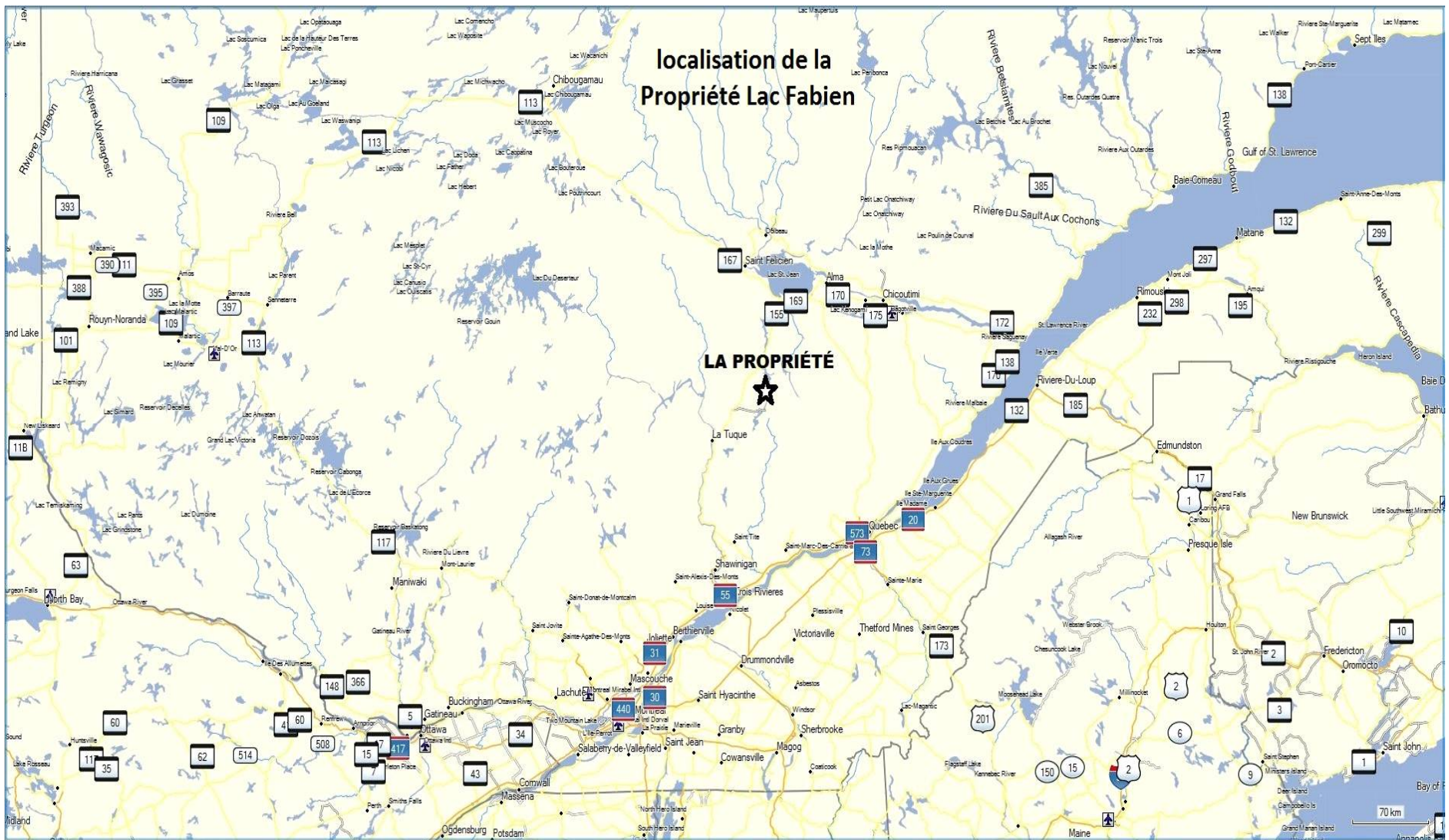


Figure 1, location map of the property

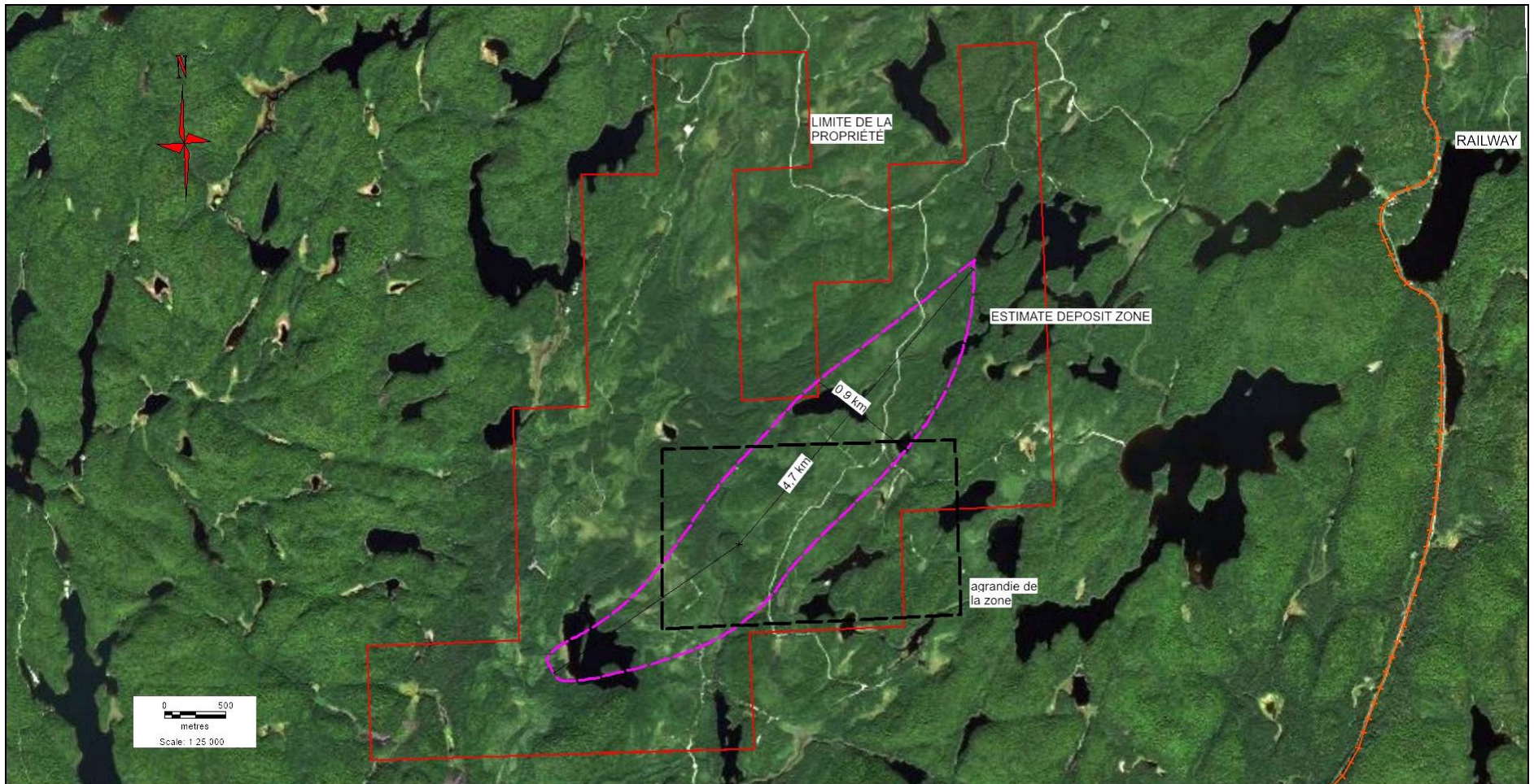




Figure 2, the property and the trace of the deposit under satellite photo.

-  Limit of property
-  Limit of deemed deposit

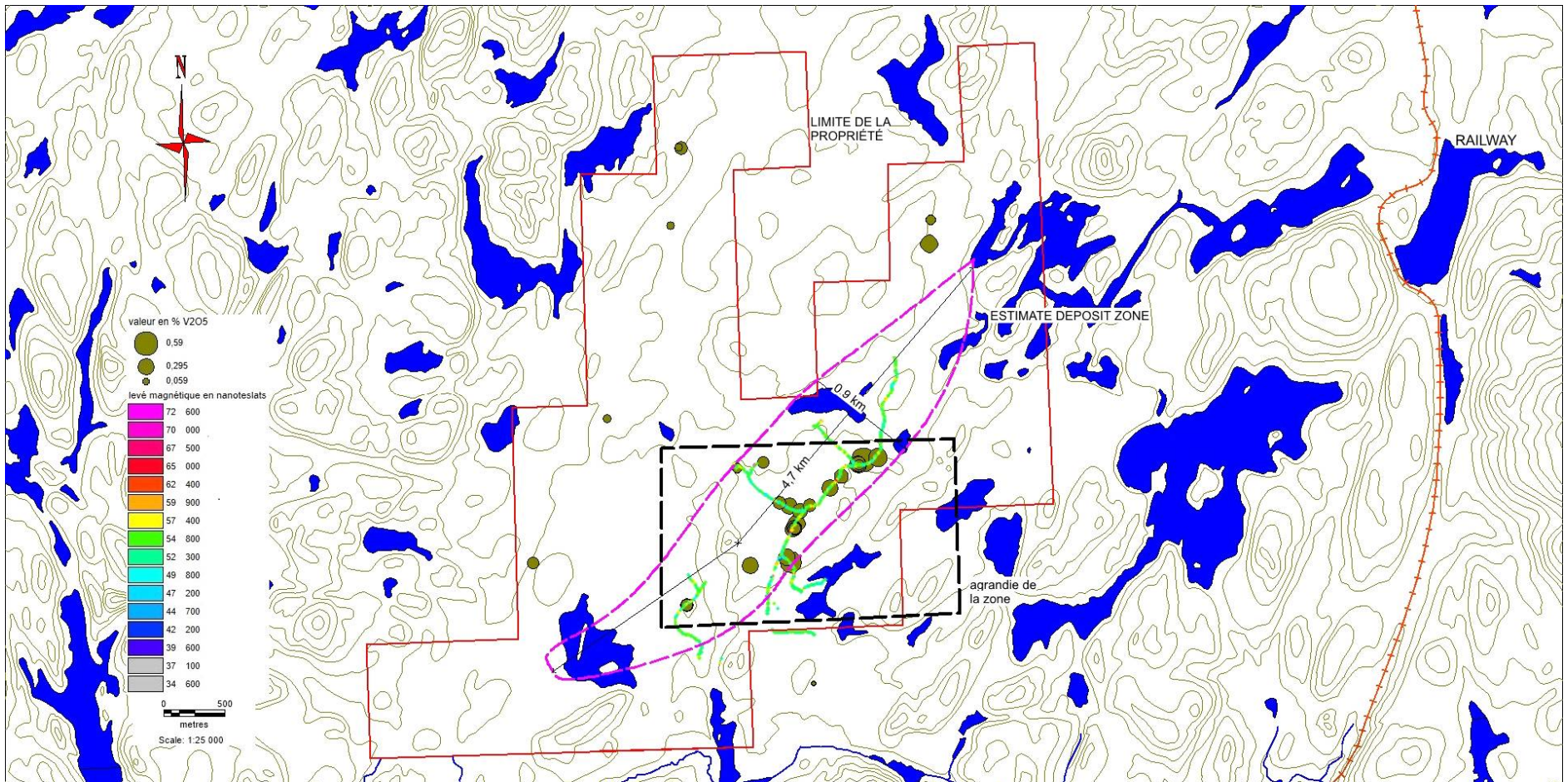


Figure 3, results of the work including the magnetic survey and the results of the analyzes of the samples taken.

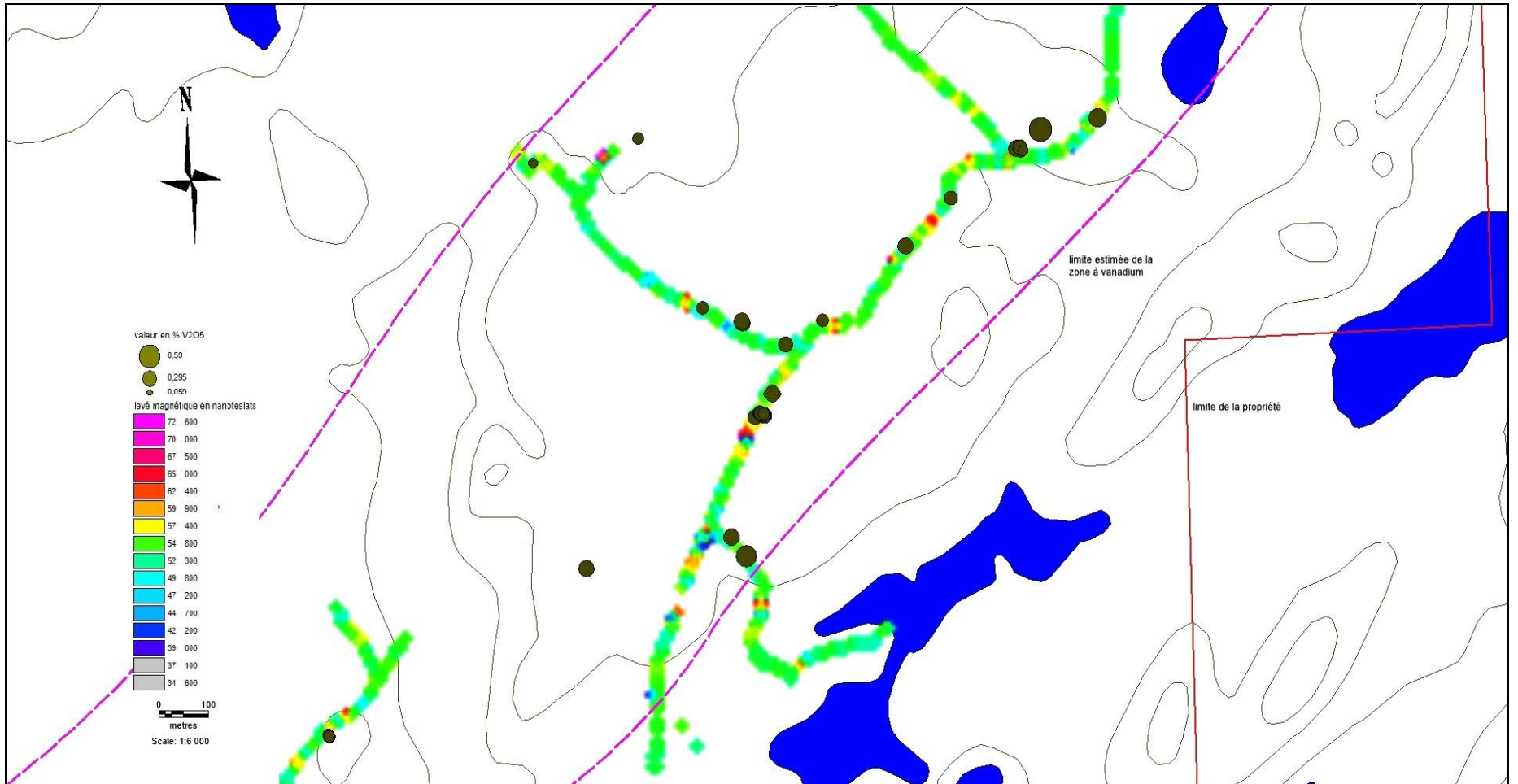


Figure 4, magnification of Figure 3 with magnetic survey and analysis results in % V₂O₅

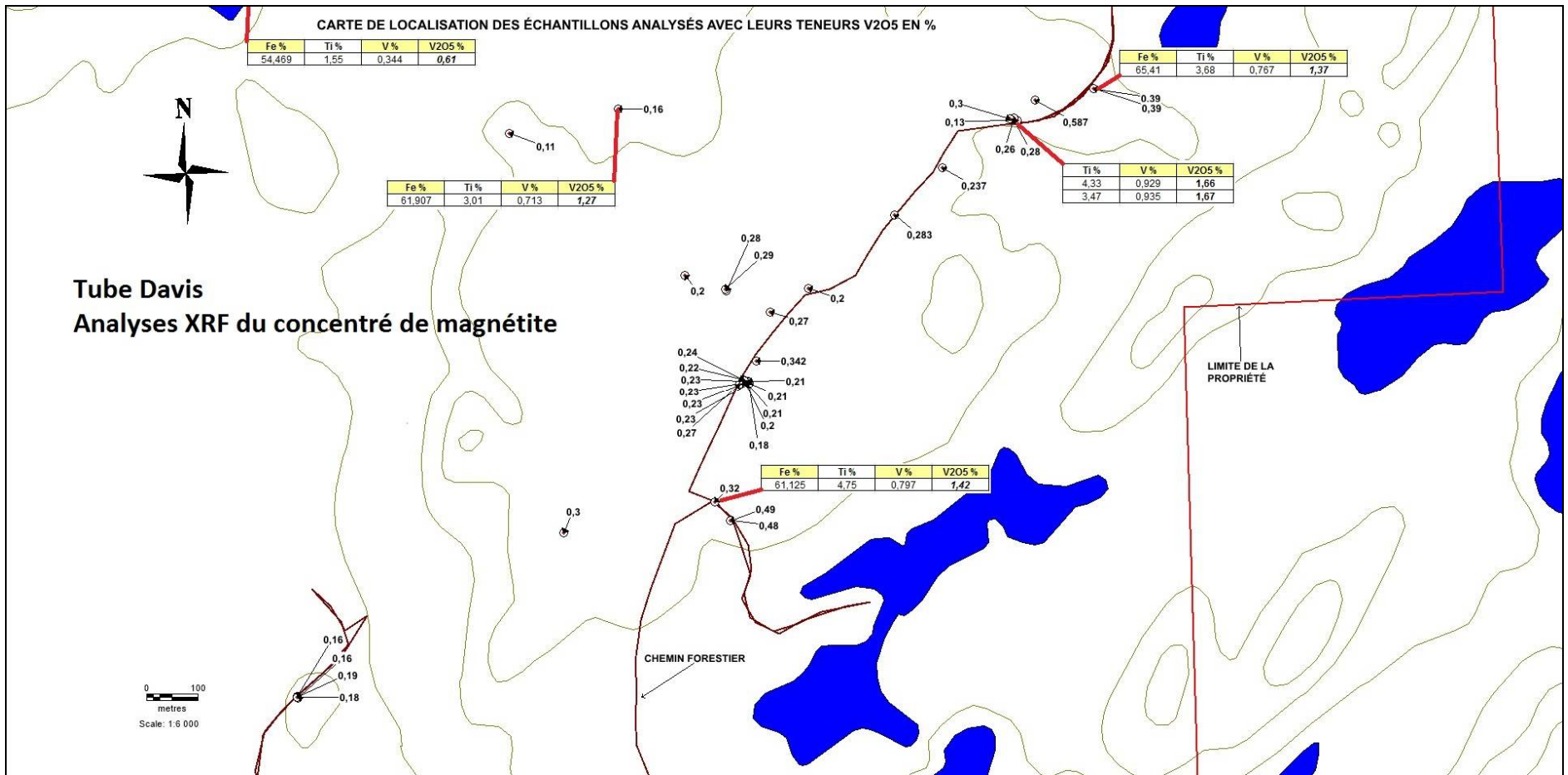


Figure 4, results of the analyzes of the samples taken in % V₂O₅



Photo de la voie ferrée.

TABLEAU DES ANALYSES

NO_AFF	NO_ECH	date	est	nord	Cr ppm	Fe %	P ppm	Ti %	V ppm et %	Al2O3	CaO	Cr2O3	Fe2O3	K2O	MgO	MnO	Na2O	P2O5	SiO2	TiO2	SrO	V2O5 %
st-077	269932	2017-06-13	706346	5294414	4,4	26,60	54	8,05	1700													0,3
st-078	269931	2017-06-13	706354	5294415	4,4	23,70	64	7,2	1470													0,26
st-079	269933	2017-06-13	706353	5294413	2,6	25,00	101	7,82	1570													0,28
st-081	269936	2017-06-13	706214	5294319	1,5	21,60	113	7,07	1330													0,237
st-083	269934	2017-06-13	706121	5294226	1,2	26,60	92	8,96	1590													0,283
st-085	269935	2017-06-13	705817	5293896	4,1	24,90	105	7,72	1540													0,27
st-087	269930				21,1	34,50	80	7,12	3270													0,583
st-091	6686204	2017-06-26	706360	5294410						9	9,4	<0.01	24,1	0,15	8,48	0,28	1,97	0,02	40,1	7,9	0,02	0,13
st-097	6686205	2017-06-26	705878	5294037	<0.01					3,06	7,4	<0.01	38,6	0,02	10,8	0,35	0,42	0,01	25,9	14,9	<0.01	0,27
st-100	6686206	2017-06-26	705792	5294079	<0.01					2,75	7,8	<0.01	40	0,02	10,4	0,34	0,34	0,01	26,2	15,7	<0.01	0,28
st-101	6686207	2017-06-26	705711	5294108	<0.01					4,68	9,9	<0.01	29,8	0,05	11,2	0,32	0,75	0,01	34,7	9,62	<0.01	0,2
st-102	6686208	2017-06-26	705368	5294385	<0.01					13	9	<0.01	20,3	0,21	6,46	0,21	2,92	0,02	43,5	5,1	0,03	0,11
st-157	E6686239	2017-07-10	704956	5293276																		
st-173	6686214	08-AOU-17	705475	5293606						3,27	8,4	<0.01	38,4	0,02	10,9	0,34	0,37	0,02	27,5	12,5	<0.01	0,3
st-174	6686215	07-AOU-17	704953,55	5293286,15						12	11	<0.01	20,3	0,16	8,29	0,2	2,38	0,02	41,8	4,82	0,03	0,16
st-175	6686209	07-AOU-17	704953,87	5293285,27						11,5	10	<0.02	22,4	0,16	8,18	0,22	2,23	0,02	41	5,61	0,03	0,18
st-176	6686216	07-AOU-17	704954,23	5293284,35						9,92	10	<0.01	23,8	0,12	9,15	0,23	1,93	<0.01	39,8	6,29	0,02	0,19
st-177	6686217	07-AOU-17	704954,61	5293283,38						14,3	9,5	<0.01	20,3	0,2	6,68	0,18	2,9	0,02	42,5	4,68	0,03	0,16
st-178	6686210	07-AOU-17	705825,79	5293905,01						6,67	9,2	<0.01	29,9	0,06	10,7	0,29	1,2	<0.01	35,1	9,03	0,02	0,22
st-179	6686212	07-AOU-17	705826,3	5293904,31						5,35	8,5	<0.01	33	0,05	11,1	0,32	0,89	0,01	31,9	10,7	0,01	0,24
st-180	6686221	07-AOU-17	705826,83	5293903,52						7,63	9	0,01	28,7	0,09	10,3	0,29	1,44	<0.01	35,6	9,1	0,02	0,21
st-181	6686224	07-AOU-17	705827,38	5293902,69						9	8,8	<0.01	27,5	0,12	9,38	0,26	1,74	0,02	36,4	8,85	0,02	0,2
st-182	6686213	07-AOU-17	705827,9	5293901,93						8,31	9,2	0,01	27,4	0,12	9,7	0,26	1,6	0,01	36,5	9,08	0,02	0,21
st-183	6686222	07-AOU-17	705830,36	5293901,57						7,86	8,3	<0.01	30,7	0,1	10,3	0,28	1,46	<0.01	34,2	9,56	0,01	0,23
st-184	6686223	07-AOU-17	705834,94	5293902,2						9,83	9,3	<0.01	24,6	0,12	8,81	0,23	1,96	0,01	38,7	7,33	0,02	0,18
st-185	6686211	07-AOU-17	705835,48	5293901,48						8,62	8,9	0,01	27,6	0,12	9,73	0,27	1,66	0,01	36,5	8,42	0,02	0,21
st-186	6686219	07-AOU-17	705836,48	5293900,67						5,99	8,7	<0.01	31,9	0,07	11,3	0,3	1,06	<0.01	33	10,1	<0.01	0,23

NO_AFF	NO_ECH	date	est	nord	Cr ppm	Fe %	P ppm	Ti %	V ppm et %	Al2O3	CaO	Cr2O3	Fe2O3	K2O	MgO	MnO	Na2O	P2O5	SiO2	TiO2	SrO	V2O5 %
st-187	6686220	07-AOU-17	705836,96	5293899,86						6,03	8,9	<0,01	31,1	0,1	11,1	0,31	1,05	0,01	34,1	9,92	0,01	0,23
st-188	6686218	07-AOU-17	705835,7	5293898,05						7,45	8,7	<0,01	30	0,09	9,94	0,28	1,4	0,01	34,4	9,73	0,01	0,23
st-190	e6686226	21-08-17	704825	5296333						14,9	9,2	0,02	15,2	0,36	5,36	0,19	3,69	0,03	47,9	4,34	0,06	0,07
st-191	e6686225	21-08-17	703708	5293625						9,56	7,3	0,02	29,8	0,18	7,84	0,29	1,96	0,02	34,9	9,9	0,03	0,18
st-192	e6686228	21-08-17	704307	5294779						14,6	9,7	<0,01	14,8	0,26	5,84	0,09	3,36	0,02	46,7	4,74	0,04	0,08
st-195	E6686234	30-08-2017	705581	5294433						6,19	8,4	0,01	31	0,1	8,91	0,33	1,36	0,02	34,1	11,1	0,01	0,16
st-208	E6686241	30-08-2017	706023	5294543																		
st-216	6686235	4-10-2017	705790	5294082						2,76	7,3	0,02	40,5	0,02	10,2	0,36	0,39	0,01	25	16,4	0,01	0,29
st-219	pm3 B	4-10-2017	705716	5293679																		
st-220	e6686232	4-10-2017	705800	5293629						4,01	2,8	0,06	55,7	0,02	9,2	0,36	0,41	0,01	16	13,7	0,01	0,48
st-221	e6686233	4-10-2017	705800	5293629						4,05	2,8	0,03	55,6	0,02	9,26	0,35	0,42	0,01	16,4	13,6	0,01	0,49
st-222	6686236	4-10-2017	705770	5293666						5,06	8,3	0,02	37,8	0,04	10	0,32	0,72	0,01	28,7	10,1	0,01	0,32
st-223	e6686230	4-10-2017	706510	5294472						3,52	7	0,03	44,2	0,01	11,2	0,33	0,43	0,01	24	11	0,01	0,39
st-224	e6686231	4-10-2017	706510	5294472						3,58	6,9	0,02	44,6	0,01	11,4	0,33	0,41	0,01	23,9	10,8	0,01	0,39
st-226	6686237	4-10-2017	705953	5294084						7,39	8,6	0,01	29,1	0,1	9,72	0,3	1,51	0,01	35,1	10,1	0,02	0,2
*historique	897818	17-08-2001	706940	5296380	64	13,98		0,49	0,063													0,11
*historique	897819	17-08-2001	706930	5296190	74	27,65		0,9	0,183													0,326
*historique	897820	17-08-2001	706395	5294450	139	40,00		0,67	0,329													0,587
*historique	897821	17-08-2001	705851	5293942	87	27,55		0,88	0,192													0,342
*historique	897822	17-08-2001	705990	5292660	313	7,56		0,15	0,022													0,035
*17GC1046-A1	2017068554	2017-06-21	705838	5293897	17,00	19,10			0,118	7,06	9,1	-0,01	26,72	0,08	10,4	0,26	1,31	-0,01	36,6	8,22		0,21
*17GC1045-A1	2017068630	2017-06-21	706359	5294413	20,00	24,60			0,157	3,54	7,6	-0,01		0,03	11,6	0,34	0,47	0,02	28,2	13,8		0,28

les informations précédées d'un astérisque ont été ajoutées ou simplement relocalisées pour améliorer la base de données le 2018-01-25 a 10:00 Marcel st Laurent

ANALYSE DU CONCENTRER DE MAGNÉTITE (TUBE DE DAVIS)

	Fe %	Ti %	V2O5 %
IOS			
124090001	61,125	4,75	1,42
124090002	65,41	3,68	1,37
124090003	54,469	1,55	0,61
124090004	61,907	3,01	1,27
MERN 2017		4,33	1,66
MERN 2017		3,47	1,67